

Il modo più semplice di introdurre un meccanismo oscillatorio nel modello 1-dimensionale è di introdurre un'eq. dinamica per l'albedo in grado di "guidare" il clima avanti e indietro fra stati caldi e freddi interi o rappresentate, rispettivamente, periodi interglaciali e periodi glaciali.

Osserviamo innanzitutto che le tre principali componenti del sistema climatico variano su scale di tempo molto diverse.

Queste componenti sono

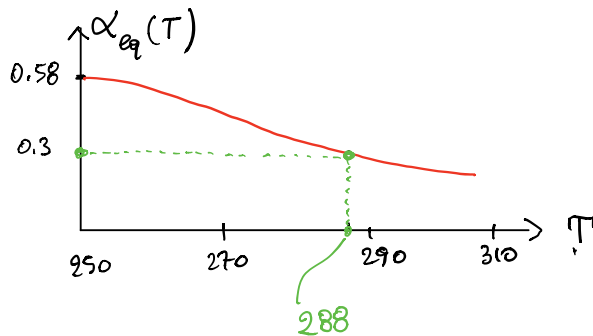
ATMOSFERA - OCEANO - COPERTURA GLACIALE

La scala temporale della copertura glaciale è la più lunga in assoluto: se L è la scala di lunghezza oceanica e U la velocità di variazione oceanica, $t_i = \frac{L}{U}$ è la scala di tempo caratteristica con cui si osservano variazioni significative. Per $L \cong 1000 \text{ km}$ e $U \cong 100 \text{ m/y}$ si trova $t_i \cong 10^4 \text{ y}$ che è dell'ordine di grandezza delle durate di una glaciazione. Poiché l'estensione della copertura glaciale è direttamente associata con l'albedo, una modificazione realistica del modello è di permettere alla copertura glaciale, e quindi all'albedo, di rispondere ai cambiamenti di temperatura sulla scala di tempo t_i .

Fissiamo una funzione $\alpha_{eq}(T)$ (albedo "di equilibrio") ⁽¹⁴⁾ che può essere una versione più regolare di quella vista prima (suggerita da Sellers nel suo articolo del 1968)

$$\alpha_{eq}(T) = a_1 - \frac{1}{2} a_2 \left[1 + \tanh \frac{T - T^*}{\Delta T} \right]$$

(valori plausibili $a_1 \cong 0.58$, $a_2 \cong 0.47$, $T^* \cong 283 \text{ K}$, $\Delta T = 24 \text{ K}$)



Il modello dinamico dinamico più semplice è il seguente

$$\begin{cases} c \dot{T} = Q(t) (1 - \alpha) - \sigma T^4 \\ t_i \dot{\alpha} = \alpha_{eq}(T) - \alpha \end{cases}$$

dove ora $\alpha(t)$ è incognita! Si è inoltre fissato per semplicità l'effetto serra $g(T)$ ad un valore costante $\sigma \cong 0.61$ (valore ragionevole per la Terra).

Supponiamo anche che $Q(t)$ sia una funzione periodica con periodo noto τ e

$$\bar{Q} = \frac{1}{\tau} \int_0^{\tau} Q(t) dt$$

la sua media. Sia ora t_{ref} la scala di tempo (15)
 in cui si osservano variazioni significative della temperatura
 atmosferica. Introduciamo grandezze adimensionali per T , t ,
 e Q :

$$T = T_{ref} T^* , \quad Q = Q_{ref} Q^* , \quad t = t_{ref} t^*$$

dove t_{ref} , T_{ref} e Q_{ref} sono opportune scale di grandezza
 (da scegliere) e t^* , T^* , Q^* adimensionali. Allora l'eq.
 per T si scrive

$$c \left(\frac{T_{ref}}{t_{ref}} \right) \dot{T}^* = Q_{ref} [Q^*(t)(1-\alpha)] - \sigma T_{ref}^4 (T^*)^4$$

dove ora " $\dot{}$ " indica la derivata rispetto al tempo
 adimensionale t^* . Per ipotesi i termini adimensionali
 sono di ordine 1. La relativa importanza dei termini
 che appaiono nell'eq. dipende allora dai fattori
 dimensionali. Indicando con $\bar{\alpha}$ un valore medio di α ,
 i termini a secondo membro sono "bilanciati" se

$$Q_{ref} = O(\sigma T_{ref}^4 (1-\bar{\alpha})^4) \Leftrightarrow T_{ref} \cong \left(\frac{Q_{ref} (1-\bar{\alpha})}{\sigma} \right)^{1/4}$$

Analogamente, variazioni di \dot{T}^* sono osservabili sulla scala
 di tempo t_{ref} solo se $c T_{ref} / t_{ref} = O(1)$. Dividiamo
 l'eq. per $c T_{ref} / t_{ref}$: si ha

(16)

$$\dot{T}^* = K_1 [Q^*(t)(1-\alpha)] - K_2 (T^*)^4$$

dove

$$K_1 = \frac{Q_{ref}(1-\bar{\alpha})}{c T_{ref}} t_{ref}, \quad K_2 = \frac{\sigma \gamma T_{ref}^4}{c T_{ref}} t_{ref}$$

sono adimensionali. Il loro rapporto non dipende da t_{ref} ma dipende solo T_{ref} come si è già visto imponendo che K_1 e K_2 abbiano lo stesso ordine di grandezza. Poiché $c = c_p d \rho_a = 10^7 \left(\frac{W}{m^2} \right)$, assumendo $Q_{ref} = 350 \left(\frac{W}{m^2} \right)$ si trova (con $\bar{\alpha} = 0.5$)

$$T_{ref} \approx \left(\frac{350 * 0.5}{5.67 * 0.61} * 10^8 \right)^{1/4} \approx 274 \text{ (K)}$$

La scelta di t_{ref} dipende della scala su cui si osservano le variazioni della temperatura del sistema. Se $\frac{1}{t_{ref}} \ll 1$ si può assumere

$$0 \approx \frac{1}{t_{ref}} \dot{T}^* = \frac{Q_{ref}(1-\bar{\alpha})}{c T_{ref}} Q^*(t)(1-\alpha) - \frac{\sigma \gamma}{c} T_{ref}^3 (T^*)^4$$

e $T^*(t)$ si trova in uno stato "quasi-stazionario"

$$T^* = T_{staz}^*(t) = \left[\left(\frac{Q_{ref}(1-\bar{\alpha})}{\sigma \gamma T_{ref}^4} \right) Q^*(t)(1-\alpha) \right]^{1/4}$$

che, risulta in forma dimensionale, è

(17)

$$\Pi_{\text{stab}}(t) = \left(\frac{Q(t)(1-\alpha)}{c\gamma} \right)^{1/4}$$

dove la dipendenza da t è legata alle variazioni di Q (supposte note e periodica). Se t_{ref} è la scala di tempo, la derivata di α nella seconda eq. è moltiplicata per t_i/t_{ref} . Quindi, se $t_i \simeq t_{\text{ref}}$, durante le variazioni di α , Π^* appare stazionaria.

Potiamo allora assumere in luogo del sistema originario

$$\begin{cases} 0 = \frac{Q_{\text{ref}}(1-\bar{\alpha})}{cT_{\text{ref}}} Q^*(t)(1-\alpha) - \frac{c\gamma}{c} \Pi_{\text{ref}}^3 (\Pi^*)^4 \\ \frac{t_i}{t_{\text{ref}}} \dot{\alpha} \simeq \dot{\alpha} = \alpha_{\text{eq}}(\Pi) - \alpha \end{cases}$$

Risolvendo la prima eq. si ha la soluzione "stazionaria" (in forma dimensionale)

$$\Pi = \Pi(\alpha; Q(t)) = \left[\frac{Q(t)(1-\alpha)}{c\gamma} \right]^{1/4}$$

Si può ora sostituire $\Pi(\alpha; Q(t))$ nella seconda

equazione :

$$\frac{t_i}{t_{ref}} \dot{\alpha} = \underbrace{\alpha_{eq} [\mathbb{T}(\alpha; Q(t))]}_{I(\alpha, Q)} - \alpha$$

Supponendo sempre $t_{ref} \gg 0$, possiamo anche ipotizzare che $t_i / t_{ref} = O(10^{-\alpha})$ con $\alpha \geq 1$: ciò corrisponde, finemente, ad un "ritardo" di ordine 10^α fra il tempo di "risposta" dinamica fra \mathbb{T} ed α (ad esempio 10^3 anni per \mathbb{T} e 10^1 anni per α). In tal caso scriviamo

$$\dot{\alpha} = \varepsilon [I(\alpha, Q) - \alpha], \quad \varepsilon = \frac{t_{ref}}{t_i} = O(10^{-\alpha})$$

L'eq. non è autonoma perché Q è funzione di t .

Queste equazione si presta all'utilizzo del seguente Teorema (metodo delle medie)

sia $\dot{x} = \varepsilon f(t, x)$, $x(0) = x_0$ con $f: \mathbb{R}^{m+1} \rightarrow \mathbb{R}$
e

$$\dot{y} = \varepsilon f_0(y), \quad y(0) = x_0$$

dove $f_0(x) = \lim_{T \rightarrow \infty} \frac{1}{T} \int_0^T f(t, x) dt$

e T è il periodo di f .

Valgono inoltre le usuali ip. del T. di Cauchy per f

Allora

(19)

$x(t) - y(t) = \mathcal{O}(\varepsilon)$ per $\varepsilon \rightarrow 0$ sulle scale di tempo $\frac{1}{\varepsilon}$

Applicato al caso in esame il Teorema dice che le soluzioni dell'eq. non autonoma per $\alpha(t)$ si comportano su tempi molto lunghi (scale di tempo $\frac{1}{\varepsilon}$) come quelle dell'eq. autonoma in cui si sostituisce

$$I(\alpha, Q) - \alpha \longrightarrow \overline{I(\alpha, Q)}$$

media temporale di $I(\alpha, Q) - \alpha$ definita come nell'enunciato del teorema. Il teorema dice anche che $\alpha(t)$ varia molto lentamente e che le soluzioni si può scrivere come sviluppo asintotico in ε del tipo

$$\alpha \simeq A_0(\varepsilon t) + \varepsilon A_1(t, \varepsilon t) + \dots$$

dove

$$\dot{A} = \overline{I(A_0, Q)} - A_0$$

dove la media è fatta nel periodo π di Q . L'ultima equazione permette, una volta scelta, di scrivere il termine principale dello sviluppo di α .

Sviluppando completamente l'analisi tuttavia non si ottiene ancora un modello in grado di descrivere le ultime est glaciali.

20
Entando, per brevità, di approfondire i limiti di questo modello, proviamo a costruire un modello, più sofisticato, in grado di prevedere i "cicli" glaciali.

Per raggiungere questo obiettivo occorre sviluppare un modello dinamico di una colata glaciale visto che è proprio la copertura glaciale una delle cause principali (e non la principale) della variazione dell'albedo.

È ben noto che i ghiacciai non sono "statici". Il ghiaccio può essere visto come un mezzo continuo in grado di deformarsi sotto l'azione del proprio peso e in grado di accrescere - diminuire la propria massa attraverso il processo di accumulo - ablazione dovuti a precipitazioni e scioglimento.

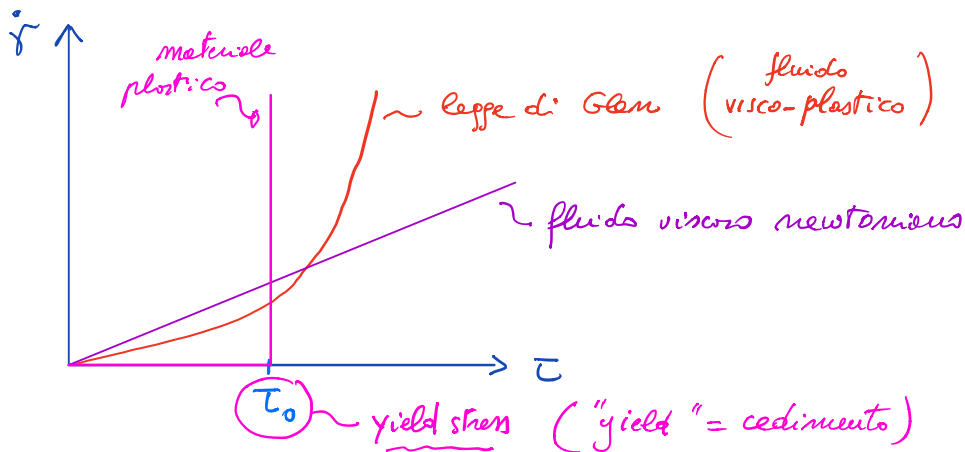
§) vari mezzi continui [vedere mie dispense di Istituzioni di Fisica Matematica, CAP I (cinematica) e CAP II (dinamica)] si distinguono fra loro in base alla relazione che caratterizza il legame SFORZO - DEFORMAZIONE

§§) Il ghiaccio ha caratteristiche che lo rendono un fluido non-newtoniano in cui tale legame non è lineare.

Semplificando molto (di questo argomento si occuperà ⁽²¹⁾ più in dettaglio il prof. L. Funari nel seguito del corso) in un esperimento ideale in cui sforzo τ e velocità di deformazione $\dot{\gamma}$ (che in generale sono tensori doppi simmetrici) hanno un'unica componente significativa (τ e $\dot{\gamma}$ diventano semplici funzioni scalari), gli esperimenti mostrano che per il ghiaccio vale la legge di Glen

$$\dot{\gamma} = A \tau^n$$

dove $n \approx 3$ e A è molto piccolo e dipende esponenzialmente dalla Temperatura ($A = O(10^{-25}) \text{ s}^{-1} \text{ Pa}^{-3}$)



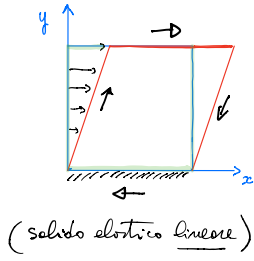
Posto $A = \tilde{A} \tau_0^{-n}$, $\dot{\gamma} = \tilde{A} (\tau/\tau_0)^n$; allora

$$\lim_{n \rightarrow \infty} \dot{\gamma} = 0 \quad \text{per } \tau < \tau_0 \quad \text{e} \quad \lim_{n \rightarrow \infty} \dot{\gamma} = +\infty \quad \text{per } \tau > \tau_0$$

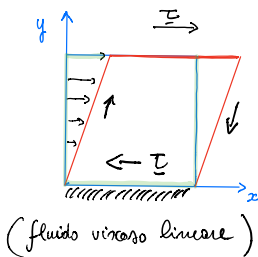
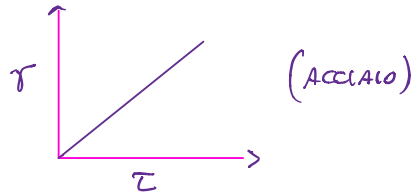
Quindi $\dot{\gamma}$ è indeterminata per $\tau = \tau_0$.

SIGNIFICATO MECCANICO della legge $\dot{\gamma} = F(\tau)$

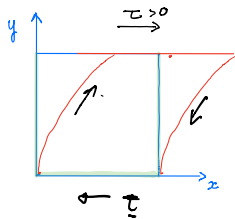
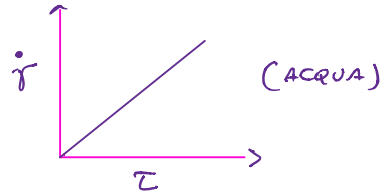
(21 a)



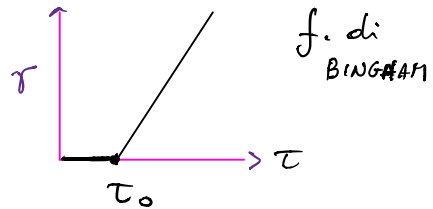
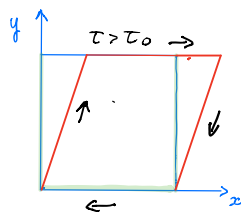
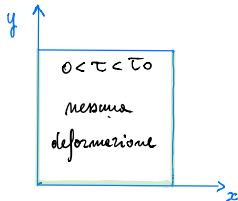
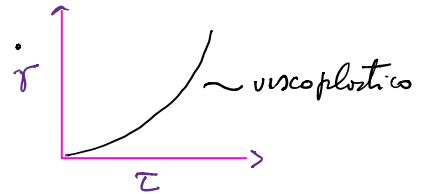
$\underline{u}(y) = (u(y), 0)$ spostamento
 $\gamma = \frac{du}{dy}$ grad di spostamento
 $\tau = \sigma \tau$
 $\sigma = \text{costante}$
 $\underline{\tau}$ sforzo di taglio $\underline{\tau} = (\tau, 0)$



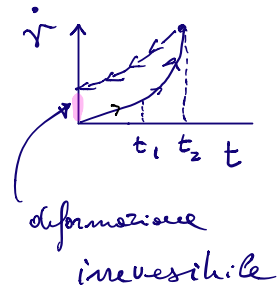
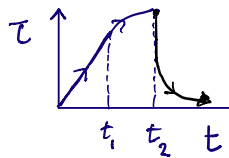
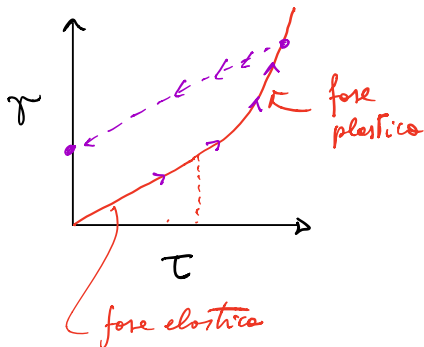
$\underline{v} = \frac{dv}{dt}$ $\underline{v} = (v, 0)$
 $\dot{\gamma} = \frac{dv}{dy}$ gradiente di velocità
 $\dot{\gamma} = \mu \tau$
 $\mu = \text{costante}$



$\dot{\gamma} = F(\tau)$ vel. di velocità
 non lineare (materiale visco-elastico)



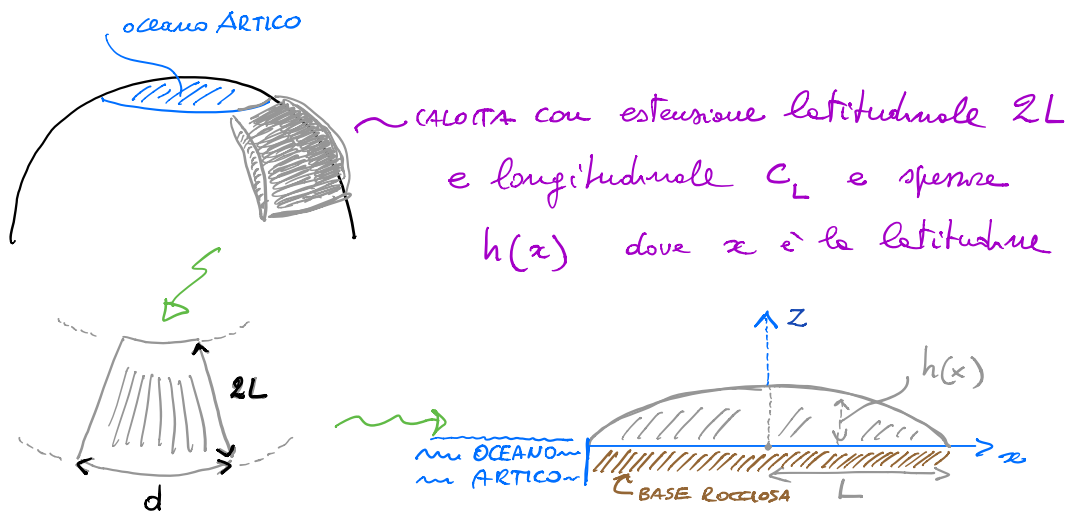
MATERIALE ELASTO-PLASTICO : ANDAMENTO CARICO - SCARICO NON REVERSIBILE



La legge di Glen tende alla legge della perfetta plasticità per $n \rightarrow \infty$. Quella della plasticità è una situazione "limite": non c'è alcuna deformazione $\dot{\gamma}$ finché lo sforzo τ non ha raggiunto un valore "di soglia" τ_0 . Superato tale valore la deformazione può raggiungere valori arbitrariamente grandi (teoricamente) senza che il suo stato di stress si modifichi apprezzabilmente. Inoltre la deformazione è irreversibile: anche diminuendo lo sforzo, il materiale non ritorna nello stato precedente la deformazione.

Benché il ghiaccio non sia perfettamente plastico per i nostri scopi l'approssimazione "plastica" è sufficiente per sviluppare una dinamica della calotta. Il vantaggio è infatti che la trattazione matematica non è particolarmente complicata.

Consideriamo una calotta glaciale come in figura



La calotta è in equilibrio sotto l'azione del proprio peso e delle reazioni vincolari offerte dalla base rocciosa che supponiamo indeformabile. Si suppone inoltre che il profilo rispetto al polo della calotta sia indipendente dalla longitudine, cioè $z = h(x)$. Si suppone quindi che tale profilo sia simmetrico in ogni piano meridiano.

Infine la calotta può estendersi (per deformazione) solo in direzione meridionale (x crescente) ma non in direzione Nord (l'oceano Artico fa da blocco).

Per la simmetria possiamo limitarci a metà del profilo. Sia

$$\Omega = \{(\xi, \eta, z) \mid \xi \in (x_0, x_0 + \delta x), z \in (0, h(x)), \eta \in (y_0, y_0 + \delta y)\}$$

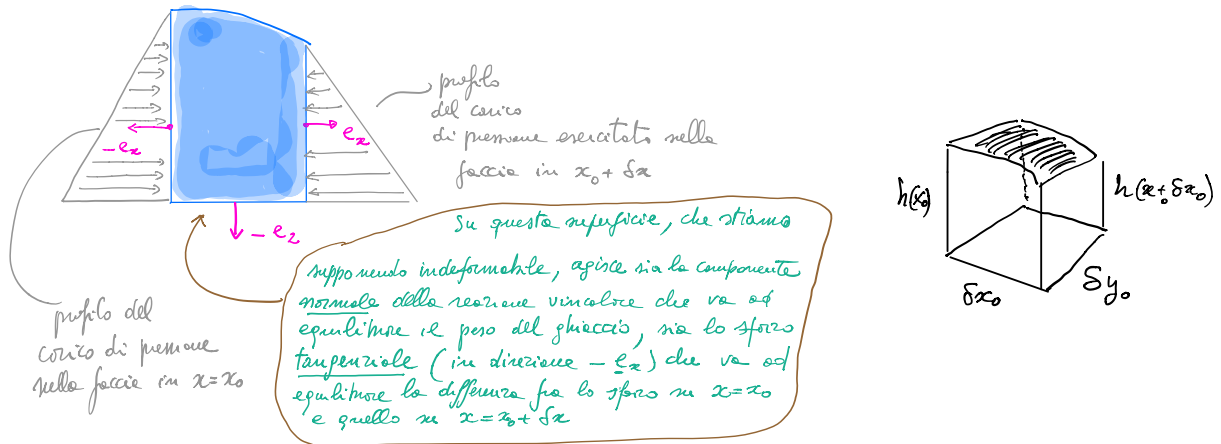
una porzione di calotta di estensione δx in direzione latitudinale e δy in direzione longitudinale. Le condizioni di equilibrio "quasi-statiche" fatte le forze agenti in Ω devono sommarsi a zero. Tali forze sono il peso proprio di Ω , la pressione dell'aria su $z = h(x)$ (trascurabile) e la reazione vincolare del basamento roccioso su $z = 0$:

$$\delta y_0 \int_{z=0}^{z=h(x_0)} (-\rho_i g z) dz + \delta y_0 \int_{z=0}^{z=h(x_0 + \delta x)} \rho_i g z dz + \delta y_0 \int_{x_0 + \delta x}^{x_0} (-\tau_0) d\xi = 0$$

sforno sulla faccia $x = x_0$ in direzione \underline{e}_x

sforno nella faccia in $x = x_0 + \delta x$ in direzione $-\underline{e}_x$

sforno su $z = 0$ in direzione \underline{e}_x



Abbiamo assunto (com'è ragionevole) che la deformazione abbia luogo quando lo sforzo τ è sostanzialmente \approx valore di soglia τ_0
 Integrando e semplificando l'eq. del bilancio isotatico si ha

$$\int_{z=h(x_0)}^{z=h(x_0+\delta x)} \rho_i g z \, dz \approx -\tau_0 \delta x$$

$$\text{cioè} \quad \frac{1}{2} \rho_i g [h(x_0+\delta x) + h(x_0)] [h(x_0+\delta x) - h(x_0)] \approx -\tau_0 \delta x$$

Dividendo per δx e passando al limite per $\delta x \rightarrow 0$ si ha

$$\rho_i g h(x_0) h'(x_0) \approx -\tau_0$$

che possiamo integrare con la c.i. $h(0) = H_0$ (massima altezza della colotta). Si ottiene così il profilo

$$\left(\frac{h(x)}{H_0}\right)^2 = 1 - \frac{2\tau_0}{\rho_i g H_0^2} x$$

Poiché per ipotesi L è la massima estensione longitudinale, $h(L)=0$ e quindi si trova

$$L = \frac{\rho_i g}{2\tau_0} H_0^2$$

Misure di laboratorio indicano $\tau_0 \approx 10^5 \text{ Pa}$ e quindi, poiché $\rho_i = 9 \times 10^2 \text{ kg/m}^3$ e $g \approx 9.8 \text{ m/s}^2$, si trova

$$H_0 \approx 3.36 \sqrt{L}$$

Ghiacciai in Antartide, Groenlandia e Islanda sembrano confermare questa correlazione nonostante le forti semplificazioni adottate: ad esempio per $L = 10^6 \text{ m}$ (10^3 km) si ottiene $H_0 \approx 3360 \text{ m}$. Possiamo allora semplificare l'espressione di $h(x)$:

$$\left(\frac{h}{H_0}\right)^2 = 1 - \frac{|x|}{L} \Leftrightarrow h(x) = H_0 \left(1 - \frac{|x|}{L}\right)^{1/2} = \frac{H_0}{\sqrt{L}} (L - |x|)^{1/2}$$

ovvero

$$h(x) = \lambda^{1/2} (L - |x|)^{1/2}, \quad \lambda = \frac{2\tau_0}{\rho_i g}$$

(Si noti che $[\lambda] = \text{m}$)

Va notato che se si fosse usata la legge di Glen invece dell'ipotesi di perfetta plasticità la dipendenza di h da L assume una forma più

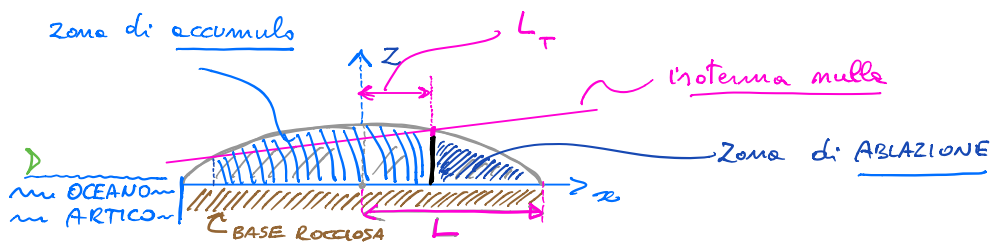
Complicato

(26)

$$\left(\frac{h(x)}{H_0}\right)^{2+2/m} + \left(\frac{x}{L}\right)^{1+\frac{1}{m}} = 1$$

che per $m \rightarrow \infty$ si riduce al profilo precedente (parabolico) ma restano le singolarità in $x=0$ e $x=L$.

Analizziamo ora l'evoluzione del volume della colotta nel tempo

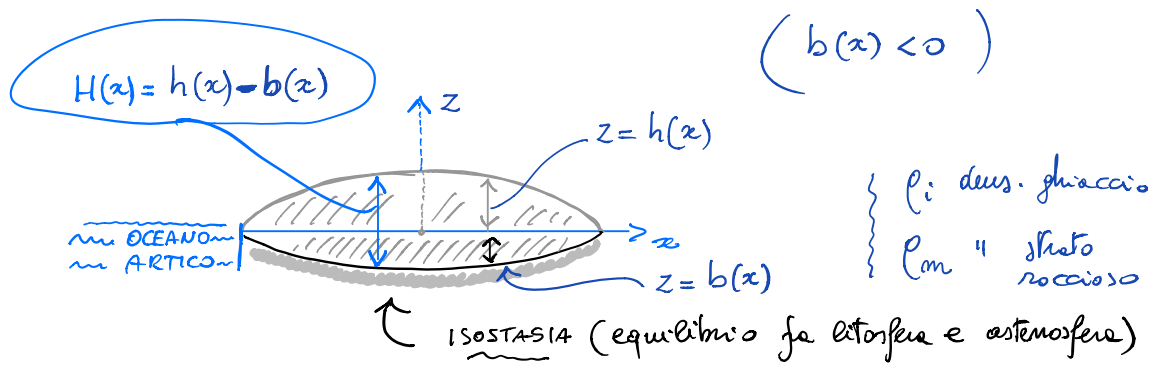


Il volume della colotta si ottiene integrando il profilo

$$V = 2 d \tilde{\lambda}^{1/2} L^{3/2} \int_0^L \left(1 - \frac{|x|}{L}\right)^{1/2} dx = \frac{4}{3} d \tilde{\lambda}^{1/2} L^{3/2}$$

dove $\tilde{\lambda} = \sqrt{\frac{2\tau_0}{\rho_i g}}$ (si noti che $[\tilde{\lambda}] = m^{1/2}$, coerentemente con $[V] = m^3$)

OSSERVAZIONE: l'ipotesi che la base glaciale sia orizzontale è semplificativa e può essere corretta. Per effetto del peso, la base glaciale subisce una depressione; se $H(x)$ indica lo spessore della colotta e $h(x)$ l'altitudine della sua superficie rispetto al piano $z=0$, $-b(x) = H(x) - h(x)$ rappresenta la misura della depressione isostatica.



L'equilibrio richiede $\rho_i H(x) g = -\rho_m b(x) g$
 (legge di Archimede). Pertanto
 peso ghiaccio spinta litostatica

$$b(x) = -\frac{\rho_i}{\rho_m} H(x) = -\frac{\rho_i}{\rho_m} (h(x) - b(x))$$

ovvero
$$b(x) = \frac{\rho_i h(x)}{\rho_i - \rho_m} = \delta h(x)$$

dove $\delta = \frac{\rho_i}{\rho_i - \rho_m}$; perche' si ritiene $\rho_i / \rho_m \approx 1/3$

altrimenti $\delta \approx \frac{1}{2}$ ovvero lo strato di ghiaccio e' per $1/3$ sotto il livello $z=0$ e per $2/3$ sopra.

Se ora con il profilo $h(x)$ non cambia, solo la modifica del fattore $\tilde{\lambda}$ che va cambiato in $\frac{2}{3} \sqrt{\frac{2\tau_0}{\rho_i g}}$ e quindi:

$$h(x) = \lambda^{1/2} (L-x)^{1/2} \quad \text{dove} \quad \lambda = \frac{2}{3} \sqrt{\frac{2\tau_0}{\rho_i g}} .$$

Il volume V varia col tempo per accumulo - ablazione: (28)

possiamo scrivere $\dot{V} = \alpha A - \alpha' A'$ dove $A = d L_T$ è l'area con velocità di accumulo (variazione dello spessore verticale nell'unità di tempo) $\alpha(T)$ e $A' = d (L - L_T)$ è l'area di ablazione con velocità $\alpha'(T)$. Pertanto

$$\dot{V} = \frac{d}{dt} \left(\frac{4}{3} d \lambda^{1/2} L^{3/2} \right) = d \alpha' [\varepsilon L_T - (L - L_T)]$$

dove $\varepsilon = \alpha/\alpha'$ è funzione di T , e d (estensione longitudinale della coltella) è assunto costante. Se L_T è una funzione nota di L e della pendenza dell'isoterma nulla (che per semplicità supponiamo costante) otteniamo un'eq. diff. ordinaria per $L(t)$:

$$\dot{L} = \frac{\alpha'}{2 \lambda^{1/2} L^{1/2}} [(1+\varepsilon) L_T - L]$$

Per poter scrivere l'eq. $L_T = L_T(L)$ occorre chiarire il ruolo dell'isoterma nulla (che individua il punto $(L_T, h(L_T))$ sul profilo della coltella).

Sia $h_s(x; T) = h_0(T) + s(x+L)$ l'equazione della retta che descrive l'isoterma: s è la pendenza rispetto a $x=0$ (che supponiamo costante), $h_0(T)$ è

"sophisticata" :

$$\alpha(T) = \gamma \alpha_{\text{land}}(T) + (1-\gamma) \alpha_{\text{ocean}}(T)$$

dove γ è la frazione di superficie terrestre continentale

($\gamma \in (0,1)$) e dove $\alpha_{\text{land}}(T) = \alpha_0 + \alpha_1 L(T)$;

per $L=0$ non c'è ghiaccio continentale, per $L=L_{\text{max}}$ α_{land} è al suo massimo valore possibile. Pertanto

$$\alpha_0 \leq \alpha_{\text{land}}(T) \leq \alpha_0 + \alpha_1 L_{\text{max}}$$

dove α_0 e α_1 sono parametri che possono essere stimati (e quindi da considerarsi noti) utilizzando valori misurati di α (Sellers 1969). Per quanto riguarda α_{ocean}

$$\alpha_{\text{ocean}}(T) = \begin{cases} \alpha_{\text{max}} & , T \leq T_{\alpha,l} \\ \frac{\alpha_{\text{min}} - \alpha_{\text{max}}}{T_{\alpha,u} - T_{\alpha,l}} (T - T_{\alpha,l}) + \alpha_{\text{max}} & , T \in (T_{\alpha,l}, T_{\alpha,u}) \\ \alpha_{\text{min}} & , T > T_{\alpha,u} \end{cases}$$

chiaramente $T_{\alpha,l}$ e $T_{\alpha,u}$ sono valori opportuni.

